

## **Research Paper**

# **Association of Phosphatidylinositol 3-Kinases Mutations in Markazi Province Breast Cancer Patients Women**

**\*Ahmad Hamta<sup>1</sup>, Narges Sharif<sup>2</sup>**

1. Assistant Professor, Department of Biology, Faculty of Sciences, Arak University, Arak, Iran.

2. MSc. Student, Department of Biology, Fauly of Sciences, Arak University, Arak, Iran.



**Citation:** Hamta S, Sharif N. [Association of Phosphatidylinositol 3-Kinases Mutations in Markazi Province Breast Cancer Patients Women (Persian)]. Journal of Sabzevar University of Medical Sciences. 2016; 23(5):748-755. <http://dx.doi.org/10.21859/sums-2305748>

**doi:** <http://dx.doi.org/10.21859/sums-2305748>

Received: 03 Jul. 2016

Accepted: 28 Oct. 2016

## **ABSTRACT**

**Backgrounds** Breast cancer is the most common cancer in females worldwide. Phosphatidylinositol 3-kinases (PI3Ks) evolve from lipid kinase that regulates the diverse cellular signaling pathways and are often altered in human cancers. Mutations in the gene encoding the p110 $\alpha$  catalytic subunit PI3K (PIK3CA) can increase the enzyme activity and cause uncontrolled growth in cells. Previous studies indicated high frequency of mutation in PIK3CA gene in breast cancer. The current study aimed at determining the activating mutations of PI3K gene that can treat breast cancer using kinase activity of the enzyme inhibitors.

**Methods & Materials** In the current study, due to the high rate of breast cancer in Markazi province, mutations of PIK3CA gene in 45 patient samples and 20 controls were investigated by the means of single-strand conformational polymorphism (SSCP) and direct DNA sequencing. In addition, the correlation between PIK3CA mutations and clinicopathological factors including age at diagnosis, lymph node metastases, subtype histology, tumor size, and histological grade were investigated by the Pearson Chi-square ( $\chi^2$ ) test.

**Results** Among the 26.6% PIK3CA gene mutations in the study, 75% were identified in the exon 9; and accordingly, in addition to hotspot mutation [G1624A (E542K)], another mutation [G1634C (E545A)] was also detected. The current study showed no significant correlation between PIK3CA mutations and clinicopathological factors.

**Conclusion** Mutations in PI3K gene, a proto-oncogene, showed the importance of this pathway for therapeutic purposes to prevent and cease the growth of breast cancer

### **Keywords:**

Breast cancer,  
Phosphatidylinositol  
3- Kinase, Mutati-  
on, Single-strand  
conformational  
polymorphism

### **\* Corresponding Author:**

Ahmad Hamta, PhD

**Address:** Department of Biology, Faculty of Sciences, Arak University, Arak, Iran.

**Tel:** +98 (86) 34173317

**E-mail:** a-hamta@araku.ac.ir

## بررسی جهش‌های ژن فسفاتیدیل اینوزیتول ۳-کیناز در زنان مبتلا به سرطان پستان در استان مرکزی

\*احمد همتا<sup>۱</sup>، نرگس شریف<sup>۲</sup>

۱- استادیار، گروه زیست‌شناسی، دانشکده علوم پایه، دانشگاه اراک، اراک، ایران.  
۲- کارشناسی ارشد، گروه زیست‌شناسی، دانشکده علوم پایه، دانشگاه اراک، اراک، ایران.

### جکیده

تاریخ دریافت: ۹ مرداد ۱۳۹۵  
تاریخ پذیرش: ۷ آبان ۱۳۹۵

**هدف** سرطان پستان شایع‌ترین سرطان در میان زنان جهان است. فسفاتیدیل اینوزیتول ۳-کیناز (PI3K) که مسیرهای انتقال پیام سلولی متنوعی را تنظیم می‌کند اغلب در سرطان‌های انسانی تغییر می‌یابد. جهش‌های ژن کد کننده زیرواحد کاتالیتیکی (PIK3CA) p110α PI3K موجب افزایش فعالیت آنزیم و رشد کنترل‌نشده سلول‌ها می‌شود. مطالعات گذشته بیانگر درصد بالای جهش ژن PIK3CA در سرطان پستان است. هدف این مطالعه تعیین جهش‌های فعال کننده ژن PI3K است که می‌تواند در درمان سرطان پستان با استفاده از مهار کننده‌های فعالیت کینازی این آنزیم مؤثر باشد.

**مواد و روش‌ها** با توجه به شیوع سرطان پستان در استان مرکزی، در این مطالعه وجود جهش در ژن PIK3CA بین ۴۵ نمونه بیمار و ۲۰ نمونه کنترل با روش SSPC و توالی یابی مستقیم بررسی شد. همچنین ارتباط بین جهش‌های باعوامل کلینیکوپاتولوژیکی شامل سن شناختی، درگیری غدد لنفاوی، وضعیت هیستولوژیک، اندازه تومور و درجه بافتی با آزمون پیرسون کای اسکوئر ( $\chi^2$ ) بررسی شد.

**یافته‌ها** از بین ۶۴ عدد رصد جهش ژن PIK3CA در این مطالعه ۷۵ درصد آن در آگزون ۹ شناسایی شد. در آگزون ۹ علاوه بر جهش شایع (G1624A E542K) (G1634C E545A)، جهش دیگری نیز (E545A) شناسخت. این مطالعه نشان داد ارتباط معنی‌داری بین جهش با عوامل کلینیکوپاتولوژیکی وجود ندارد.

**نتیجه‌گیری** وجود جهش در ژن PI3K که یک ژن پروتوانکوژنیک است، اهمیت این مسیر را به عنوان هدف درمانی برای جلوگیری و توقف رشد سرطان پستان نشان می‌دهد.

### کلیدواژه‌ها:

سرطان پستان، فسفاتیدیل اینوزیتول ۳-کیناز، جهش، SSPC

### مقدمه

سرطان گروهی از بیماری‌ها را شامل می‌شود که مشخصه آن‌ها رشد سلولی تنظیم‌نشده، تهاجم و انتشار سلول‌ها از جایگاه اصلی یا مکان اولیه به نقاط دیگر بدن است [۱]. سرطان پستان متداول‌ترین سرطان و دلیل اصلی مرگ‌ومیر ناشی از سرطان در میان زنان جهان و نیز در میان زنان ایرانی است [۲، ۳]. بر اساس پژوهشی که به بررسی سرطان‌های رایج در استان مرکزی بین سال‌های ۱۳۸۰ تا ۱۳۸۵ پرداخت، سرطان پستان شایع‌ترین سرطان در جمعیت زنان گزارش شده است [۴]. PI3K با اتصال G پروتئین‌های تیروزین کینازی یا RTK<sup>۱</sup> گیرنده‌های جفت‌شده با P85 به SH2 زیرواحد تنظیمی<sup>۲</sup> ایست [۵]. با اتصال لیگاند به ریپتور در سطح سلول و فعل شدن گیرنده‌های تیروزین کینازی، دمین PIP2 بازدید از فعال شده فسفاتیدیل

اینوزیتول ۴ و ۵ بیس فسفات یا PIP2<sup>۳</sup> را فسفریله و به فسفاتیدیل اینوزیتول ۳ و ۴ و ۵ تری‌سفات<sup>۴</sup> تبدیل می‌کند [۵].

خانواده PI3K به ۸ زیرواحد کاتالیتیکی مجزا تقسیم می‌شوند که قادر به فسفریله کردن اینوزیتول لیپیدها هستند و بر اساس ساختار دمین پروتئینی، سوبیسترا ایلیپیدی اختصاصی و نیز زیرواحدهای تنظیمی در سه کلاس مختلف (I و II و III) طبقه‌بندی می‌شوند [۵]. کلاس I آنزیمی بیشتر از دو کلاس دیگر مطالعه و بررسی شده است. این کلاس هترودیمری متشکل از دو زیرواحد کاتالیتیکی<sup>۵</sup> و تنظیمی<sup>۶</sup> است [۶]. با اتصال لیگاند به ریپتور در سطح سلول و فعل شدن گیرنده‌های تیروزین کینازی، دمین P85 از زیرواحد تنظیمی به تیروزین فسفریله شده در

- 3. Phosphoinositol 4, 5 bisphosphate
- 4. PIP3 Phosphoinositol 3, 4, 5 Trisphosphate
- 5. P110
- 6. P85

- 1. Phosphatidylinositol 3- Kinase
- 2. Receptor Tyrosine Kinase

\* نویسنده مسئول:  
دکتر احمد همتا

نشانی: اراک، دانشگاه اراک، دانشکده علوم پایه، گروه زیست‌شناسی، کد پستی: ۸۳۴۹-۸-۸۱۵۶  
تلفن: +۹۸ (۰۲۶) ۳۴۱۷۳۳۱۷  
پست الکترونیکی: a-hamta@araku.ac.ir

دارویی مورد توجهی برای درمان سرطان است [۱۲].

## مواد و روش‌ها

در این تحقیق با توجه به سوماتیک بودن جهش‌های ژن PIK3CA نمونه‌های بافت توموری در قالب بلوک‌های پارافینه از ۴۵ بیمار خانم مبتلا به سرطان پستان مربوط به سال‌های ۱۳۸۹ تا ۱۳۹۳ از آزمایشگاه پاتولوژی سینا، بیمارستان قدس، بیمارستان آیت‌الله خوانساری و بیمارستان امیرالمؤمنین استان مرکزی جمع‌آوری شدند. مشخصات نمونه‌ها شامل سن بیمار، درجه‌بندی تومور، سایز تومور، متاستاز به غدد لنفاوی و وضعیت هیستولوژیک تومور نیز تهیه شد. ۲۰ نمونه عادی شامل نمونه‌های خون و نمونه‌های بافتی سالم نیز به این مجموعه اضافه شد.

### استخراج DNA

استخراج DNA از خون طبق دستورالعمل استخراج نمکی و PrimePrep از بافت طبق دستورالعمل کیت Ge- netBio Genomic DNA Isolation Kit from Tissue شرکت netBio انجام شد. به منظور تعیین کیفی DNA استخراج شده، از ژل آگارز ادرصد و به منظور تعیین غلظت (نانوگرم بر میکرولیتر) و خلوص آن (جذب ۲۶۰/۲۸۰ نانومتر) از دستگاه بیوفوتومتر استفاده شد.

### واکنش زنجیره‌ای پلیمراز (PCR)

در این تحقیق برای اگزون ۹ و اگزون ۲۰ ژن PIK3CA، یک جفت پرایمر رو به جلو و برگشتی با استفاده از برنامه- BLAST سایت NCBI طراحی شد. توالی آغازگرهای در جدول شماره ۱ نشان داده شده است.

### برنامه انجام PCR

برای تشخیص جهش‌های ژن PIK3CA، واکنش زنجیره‌ای پلیمراز (PCR) اگزون‌های ۹ و ۲۰ در حجم نهایی ۲۰ میکرولیتر انجام شد. برنامه استفاده شده برای اگزون ۹ و ۲۰ شامل دمای واسرشته شدن اولیه در ۹۴ درجه سانتی‌گراد به مدت ۵ دقیقه

گیرنده فاکتور رشد تیروزین کینازی متصل می‌شود و اثر مهاری زیرواحد تنظیمی از زیرواحد کاتالیتیکی P110 برداشته می‌شود. PIP3 فعال‌سازی P110 باعث فسفریله‌شدن و تبدیل PIP2 به می‌شود که پروتئین‌هایی را که دمین PH دارند مثل پروتئین کیناز b یا سرین‌ترئونین کیناز<sup>۷</sup> و پروتئین کیناز ۱ وابسته به فسفواینوزیتید<sup>۸</sup> را فعال می‌کند [۷].

فرم فعال شده AKT Z، تعدادی از پروتئین‌هایی که تنظیم متابولیسم (از طریق گلیکوژن سنتاز کیناز<sup>۳</sup>، کنترل ترجمه (از طریق P70S6 کیناز) و بقای سلولی (از طریق فاکتورهای رونویسی خانواده BAD و کاسپاز<sup>۴</sup>) را هدایت می‌کنند فسفوریله می‌کند. همچنین AKT به تنظیم چرخه سلولی از طریق سیکلین D1 و E2F مرتبط است [۸]. تغییر در هر دو زیرواحد کاتالیتیکی و تنظیمی می‌تواند منجر به افزایش فعالیت آنزیم و سرطانی شدن سلول شود، اما با توجه به مطالعات قبلی، تغییرات زیرواحد کاتالیتیکی شایع تراست. ژن کُدکننده زیرواحد کاتالیتیکی کلاس ۱<sup>۹</sup> نامیده می‌شود که جهش‌های خانواده آنزیمی آن در سرطان‌های مختلف از جمله سرطان پستان رایج است [۸، ۹].

بر اساس مطالعات گذشته، ژن از خانواده PIK3CA تنها ژن از خانواده PI3K است که حامل جهش‌های سوماتیک است [۱۰]. جهش‌های ژن PIK3CA که در اکثر سرطان‌های ای تی‌لیال انسان شامل گلیوبلاستوما، سرطان معده، سرطان کبد و سرطان پستان گزارش شده است، منجر به تضعیف آپوپتوز و تسهیل حالت تهاجمی در تومور می‌شود [۱۱]. اکثر جهش‌های ژن در PIK3CA دو نقطه داغ دمین کینازی (اگزون ۲۰) و دمین هلیکالی (اگزون ۹) گزارش شده‌اند. جهش در سایر اگزون‌ها و دمین‌ها، مثل پایانه N از دمین اتصالی آداپتور، دمین اتصالی به Ras و دمین اتصالی به غشا C2 به ندرت مشاهده شده است [۹]. رده‌های سلول سرطانی حاوی جهش‌های ژن PIK3CA، حساسیت بالایی به مهارکننده‌های مسیر PI3K دارند و درنتیجه مسیر PI3K، هدف

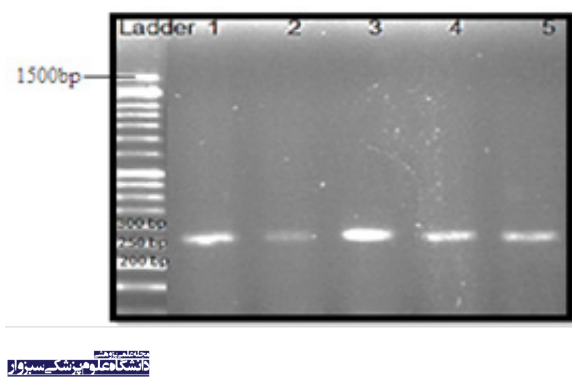
7. AKT

8. PDK-1

9. Phosphatidylinositol 4, 5 bisphosphate 3 kinase

جدول ۱. توالی آغازگرهای ژن PIK3CA

Primer	Sequence	Length of product
Exon 9	Forward 5'-TCC AGA GGG GAA AAA TAT GAC-3'	۷۷۸bp
	Reverse 5'-TAT GGT AAA AAC ATG CTG AG-3'	
Exon 20	Forward 5'-AGA CCT GAA GGT ATT AAC ATC-3'	۱۹۴bp
	Reverse 5'-TCG AAT GTA TGC AAT GTC ATC-3'	



تصویر ۱. محصول PCR اگزون ۹. نمونه ۱ و ۲ و ۳ و ۴ بیمار و نمونه ۵ نرمال است. اندازه محصول PCR اگزون ۹ برابر ۲۷۲bp است. (۵۰ bp استفاده شده)

نوکلئوتیدی باند مربوط انجام پذیرفت.

### آنالیز آماری

ارتباط جهش با چند فاکتور کلینیکوپاتولوژیکی شامل سن بیمار، متاستاز به غدد لنفاوی، درجه، نوع هیستولوژیک تومور و نیز سایز تومور توسط نرمافزار SPSS نسخه ۱۶ و آزمون پیرسون کای اسکوئر بررسی شد. در تمام محاسبات تفاوت میانگین‌ها در سطح  $P < 0.05$  معنی دار در نظر گرفته شد.

### یافته‌ها

پس از استخراج DNA از نمونه‌های بافت و خون، تعیین کیفی آن با کمک ژل آگارز ۱درصد و تعیین غلظت و خلوص DNA نیز توسط دستگاه بیوفوتومتر انجام شد. کیفیت مناسب باندها در ژل آگارز و نیز قرار داشتن نسبت جذب  $260/280$  نانومتر در محدوده  $1/8$  تا  $2$  نشانگر این بود که جذب عمدتاً مربوط به اسید نوکلئیک و خلوص DNA مناسب است. سپس PCR مربوط به اگزون ۹ و ۲۰ ژن PIK3CA انجام شد و برای اطمینان از انجام PCR، محصولات حاصل از PCR روی ژل آگارز ۲درصد برده شدند (تصویر شماره ۱).

پس از تنظیم شرایط PCR برای هر دو اگزون تعییرات نمونه‌ها با تکنیک SSCP (روش غربالگری اولیه برای تشخیص جهش) بررسی شد. تصویر شماره ۲، ژل اکریل آمید اگزون ۲۰ را نشان می‌دهد. برای اطمینان از ارتباط بین تعییر الگوی باندی با جهش تعدادی از نمونه‌هایی که مجدداً الگوی باندی متفاوتی از نمونه‌های نرمال را نشان دادند توالی‌یابی شدند.

از بین ۴۵ نمونه بلوك بافتی تومور پستان جمع شده از استان مرکزی،  $26/4$  درصد جهش مشاهده شد که  $77$  درصد آن در اگزون ۹ و  $25$  درصد در اگزون ۲۰ قرار داشتند و تغییری در الگوی باندی هیچ‌یک از نمونه‌های نرمال در ژل SSCP دیده نشد. درنتیجه، جهش‌های ژن PIK3CA به بافت توموری (سوماتیک

و  $30$  سیکل PCR به ترتیب با دمای واسرشتهشدن  $94$  درجه سانتی‌گراد به مدت  $1$  دقیقه، دمای اتصال  $58$  درجه سانتی‌گراد به مدت  $1$  دقیقه و دمای تکثیر  $72$  درجه سانتی‌گراد به مدت  $1$  دقیقه و تکثیر نهایی در دمای  $72$  درجه سانتی‌گراد به مدت  $5$  دقیقه انجام شد.

### الکتروفورز محصولات PCR

با کمک الکتروفورز ژل آگارز ۲درصد، صحت تکثیر PCR تأیید شد.

### تکنیک<sup>۱</sup> SSCP

در این مطالعه از تکنیک SSCP (چندشکلی ساختاری در DNA تکرشته‌ای) به عنوان روش اصلی شناسایی جهش استفاده شد، زیرا تکنیک SSCP روشی ساده و مؤثر و قابل اعتماد برای تشخیص تعییرات توالی در لکوس‌های ژنومی است. این تکنیک برخلاف توالی‌یابی مستقیم حساسیت نسبتاً بالایی برای شناسایی جهش‌ها، حتی در حضور آلودگی به DNA نرمال دارد. درنتیجه، از ضرورت نیاز به روش تعیین توالی می‌کاهد. تکنیک SSCP پس از بهینه‌سازی‌های متعدد در ژل اکریل آمید  $12$  درصد، حاوی گلیسروول  $5$  درصد برای مشخص کردن جهش‌ها استفاده شد. برای دناتوره کردن محصول PCR از بافر بارگذاری SSCP شامل بروموفنول بلو  $0.05$  درصد، زایلن سیانول  $0.05$  درصد،  $10$  میلی‌مولاً  $NaOH$  و فرمامید  $30$  درصد استفاده شد.

بعد از مخلوط کردن  $1\text{mL}$   $8$  محصول PCR با  $1\text{mL}$   $8$  بافر بارگذاری SSCP و نیز  $1\text{mL}$  آب دیونیزه اتوکلاؤشه، نمونه‌ها به منظور دناتوره شدن DNA به مدت  $10$  دقیقه در دمای  $95$  درجه سانتی‌گراد و سپس برای پایداری ساختار تکرشته DNA به مدت  $5$  دقیقه روی یخ قرار گرفتند. درنهایت  $1\text{mL}$   $15$  از این مخلوط روی ژل اکریل آمید بارگذاری شد و الکتروفورز در ولتاژ  $100$  به مدت  $14$  ساعت در دمای ثابت  $4$  درجه سانتی‌گراد در حضور بافر TBE  $0.5X$  انجام شد. سرانجام، ژل توسط روش نیترات نقره رنگ‌آمیزی شد. با توجه به اینکه در روش SSCP تفاوت الگوی باندی نمونه‌های بیمار در مقایسه با نمونه‌های نرمال، بیانگر وجود جهش است، این تفاوت‌ها به دقت روی ژل اکریل آمید بررسی شد.

### توالی‌یابی

تعدادی از نمونه‌هایی که الگوی باندی متفاوتی روی ژل اکریل آمید در مقایسه با نمونه نرمال داشتند، بعد از اینکه سه بافر SSCP برای آن‌ها تکرار شد و باز هم تفاوت را نشان دادند، برای اطمینان از ارتباط بین تعییر الگوی باندها با جهش و تعیین نوع جهش، به شرکت Bioneer کره جنوبی ارسال شدند و در آنجا توالی‌یابی

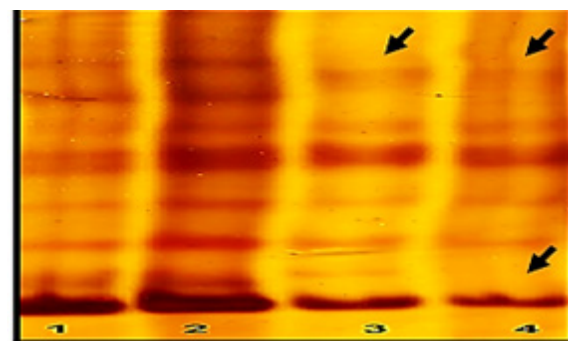
چشمگیری بر ساختار پروتئین خواهد داشت.

جهش دیگری که در اگزون ۹ مشاهده شد تبدیل نوکلئوتید A به C یا (E545A) را نشان داد که باعث تغییر رمز اسید آمینه گلوتامیک اسید (کدون GAG) به آلانین (کدون GCG) می‌شود (تصویر شماره ۳). گلوتامیک اسید قطبی و اسیدی است، در حالی که آلانین، غیرقطبی و خنثی است. این جهش نیز بر ساختار پروتئین اثر مهیمی خواهد گذاشت. با توجه به اینکه هر دو کدون ۵۴۲ و ۵۴۵ تشکیل‌دهنده ساختار بیرونی پروتئین هستند، تأثیر چشمگیری بر ساختار پروتئین و برهمنکش پروتئین پروتئین خواهد گذاشت [۱۲].

در این مطالعه ارتباط جهش‌های زن PIK3CA با تعدادی از فاکتورهای کلینیکوپاتولوژیکی مشخص شد (جدول شماره ۲). با توجه به اطلاعات جدول زیر مقدار P برای تمام فاکتورهای بررسی شده بزرگتر از ۰/۰۵ است که بیانگر آن است که بین جهش در زن PIK3CA و فاکتورهای بررسی شده ارتباط معنی‌داری وجود ندارد.

### بحث

در این تحقیق جهش‌های اگزون ۹ و ۲۰ زن در



دانشگاه علوم پزشکی سبزوار

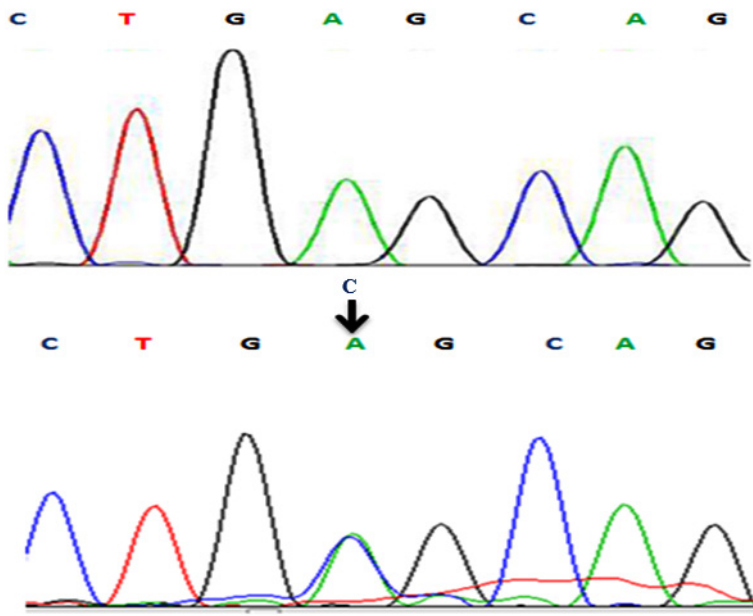
تصویر ۲. نمونه‌ای از ژل SSCP برای اگزون ۹. رنگ‌آمیزی شده با نیترات نقره. نمونه ۲ نمونه نرمال (کنترل منفی)، نمونه ۱ بیمار فاقد جهش، نمونه ۳ و ۴ بیمار دارای جهش (دارای جهش متفاوت به علت الگوی باندی متفاوت از هم‌دیگر و نیز متفاوت از نمونه نرمال) هستند. فلش‌ها بیانگر تفاوت‌های الگوی باندی در نمونه‌های بیمار ۳ و ۴ در مقایسه با نمونه نرمال (نمونه ۲) هستند.

بودن جهش) محدود هستند. تعیین توالی اگزون ۹ دو جهش شایع G1624A و A1634C را نشان داد. جهش متناول تبدیل نوکلئوتید G به A یا (G1624A E542K) باعث تغییر رمز اسید آمینه گلوتامیک اسید (کدون GAA) به لیزین (GAA) می‌شود. با توجه به اینکه گلوتامیک اسید، اسید آمینه‌ای قطبی با بار منفی و لیزین، اسید آمینه بازی است، این جهش تأثیر

جدول ۲. بررسی ارتباط جهش‌های زن PIK3CA با چند فاکتور کلینیکوپاتولوژیکی.

فاکتور کلینیکوپاتولوژیکی			
P	X <sup>2</sup>	درصد جهش	
۰/۲۰۸	۱/۵۸۵	۶۷	کمتر یا مساوی ۴۸ سن (سال) (میانگین سنی: ۴۸ سال)
		۳۳	بیشتر از ۴۸
۰/۰۵۴	۳/۰۷۵	۴۲	دارای متاستاز
		۵۸	فاقد متاستاز متاستاز به غدد لنفاوی
		۲۵	Grade I
۰/۰۵۷	۱/۱۲۴	۵۹	Grade II
		۱۶	Grade III
		۸	لبولار مهاجم ILC
		۷۵	مجرایی مهاجم IDC
۰/۲۱۶	۳/۰۶۲	۱۷	مجرایی درجا DCIS نوع بافتی تومور
		+	مدوبار
		+	موسینی
۰/۷۹۵	۰/۰۶۷	۴۲	کمتر یا مساوی ۲۵ اندازه تومور (میلی‌متر)
		۵۸	بیشتر از ۲۵

دانشگاه علوم پزشکی سبزوار



تصویر ۳. جهش A1634C (E545A) در آگزون ۹. توالی نرمال (تصویر بالا) و جهش یافته آگزون ۹ (تصویر پایین).

جهش باعث تبدیل باز آدنین به سیتوزین شده است. در این جهش کodon GCG (اسید آمینه گلوتامیک اسید) به کodon GAG (اسید آمینه آلانین) تبدیل شده است.

در جمعیت مورد مطالعه نقش دارند. ضمناً تفاوت نوع جهش‌ها در این مطالعه با مطالعات دیگر بیانگر اثر متفاوت عوامل جهش‌زا و سبک زندگی و تفاوت‌های جمعیتی در نمونه‌های مطالعه شده است. در این مطالعه تجزیه و تحلیل آماری تفاوت معنی‌داری بین سن بیمار و جهش در ژن PIK3CA نشان نداد. نتایج برخی مطالعات گذشته با نتایج مطالعه حاضر همخوانی دارد [۱۲، ۲۰]. نتایج مطالعه حاضر ارتباط معنی‌داری بین جهش و متاستاز به غدد لنفاوی نشان نداد که با نتایج بسیاری از تحقیقات گذشته مطابقت دارد [۱۰، ۱۵، ۱۸، ۱۴]. تجزیه و تحلیل آماری ارتباط معنی‌داری بین درجه بافتی تومور و جهش نشان نداد که با برخی مطالعات پیشین مطابقت دارد [۱۵، ۱۶، ۱۸].

در این تحقیق بین جهش و نوع هیستولوژیک تومور ارتباط معنی‌داری مشاهده نشد که با نتایج برخی مطالعات همخوانی دارد [۱۹، ۱۹، ۱۸، ۱۸]. محاسبات آماری ارتباط معنی‌داری بین جهش و سایز تومور نشان نداد که با مطالعه بوتیتا و همکاران [۲۰۰] مشابه است [۲۰]. در این مطالعه بین جهش‌ها با فاکتورهای کلینیکوپاتولوژیکی ارتباط معنی‌داری مشاهده نشد. این نتایج با نتایج حاصل از اکثر مطالعات پیشین مطابقت دارد.

نتایج این تحقیق حاکی از آن است که PI3K به عنوان یک ژن پروتوانکوئن می‌تواند نقش کلیدی در تومورزایی پستان بازی کند. درنتیجه، تعیین جهش‌های فعال کننده ژن PIK3CA می‌تواند در درمان سرطان پستان باستفاده از مهار کننده‌های فعالیت کینازی این آنزیم مؤثر باشد. به منظور ارتقای پژوهش در این زمینه،

سرطان پستان و در جمعیت استان مرکزی با کمک تکنیک SSCP و توالی‌بایی مطالعه شدند و ۲۶٪ درصد جهش درون این ژن شناسایی شد که درصد بالایی از آن در آگزون ۹ قرار داشت. درصد نسبتاً بالای جهش در ژن PIK3CA بیانگر نقش انکوئنیک آن در تومورزایی و ایجاد سرطان پستان است. میزان جهش‌های ژن PIK3CA در سرطان پستان در جمعیت‌های مختلف متفاوت است. در استرالیا میزان جهش ۸ تا ۴۰ درصد [۱۱، ۱۵]، در سنگاپور ۳۹ درصد [۱۶]، در ایتالیا ۲۸ درصد [۱۷] و در ژاپن ۲۹ درصد [۱۸] است. در ایران تاکنون مطالعات جامعی در این باب انجام نشده است، اما در استان اصفهان ۲۸ درصد جهش در ژن PIK3CA [۱۹] گزارش شده است.

در ۲۰ نمونه نرمال هیچ تغییری مشاهده نشد و می‌توان نتیجه گرفت که جهش‌های گزارش شده در این تحقیق غیرصادفی ووابسته به بیماری هستند. هر دو جهش E542K و E545A که در این مطالعه مشاهده شدند در آگزون ۹ قرار داشتند. جهش P85 در دمین هلیکالی (آگزون ۹) اثر مهاری زیرواحد تنظیمی P110 را برداشته است و موجب افزایش فعالیت PIK3CA می‌شود [۱۷]. از طرفی، جهش در کodon ۵۴۵ و ۵۴۲ در آگزون ۹ که در سطح بیرونی پروتئین قرار دارند، تأثیر قابل ملاحظه‌ای روی برهمنکش پروتئین پروتئین و سایر برهمنکش‌های مولکولی خواهد گذاشت [۱۳].

درنتیجه، جهش‌های شناسایی شده در این مطالعه از طریق فعال کردن مسیر PI3K در بیماری‌زایی و پیشرفت سرطان پستان

## References

- [1] Pecorino L. Molecular biology of cancer: Mechanisms, targets, and therapeutics: Oxford University Press; 2012.
- [2] Jemal A, Bray F, Center MM, Ferlay J, Ward E, Forman D. Global cancer statistics. CA: A Cancer Journal for Clinicians. 2011; 61(2):69-90. doi: 10.3322/caac.20107
- [3] Sadjadi A, Nouraei M, Mohagheghi MA, Mousavi-Jarrahi A, Malekezadeh R, Donald Maxwell P. Cancer occurrence in Iran in 2002, an international perspective. Asian Pacific Journal of Cancer Prevention. 2005; 6(3):359.
- [4] Mohaghegh F, Hamta A. [The study of cancer incidence and cancer registration in Markazi province between 2001-2006 and comparison with national statistics, Iran (Persian)]. Arak Medical University Journal. 2008; 11(2):84-93.
- [5] Foster FM. The phosphoinositide (PI) 3-kinase family. Journal of Cell Science. The Company of Biologists; 2003; 116(15):3037-40. doi: 10.1242/jcs.00609
- [6] Ligresti G, Militello L, Steelman LS, Cavallaro A, Basile F, Nicollotti F, et al. PIK3CA mutations in human solid tumors: Role in sensitivity to various therapeutic approaches. Cell Cycle. 2009; 8(9):1352-8. doi: 10.4161/cc.8.9.8255
- [7] Vivanco I, Sawyers CL. The phosphatidylinositol 3-Kinase-AKT pathway in human cancer. Nature Reviews Cancer. 2002; 2(7):489-501. doi: 10.1038/nrc839
- [8] Akinleye A, Avvaru P, Furqan M, Song Y, Liu D. Phosphatidylinositol 3-kinase (PI3K) inhibitors as cancer therapeutics. Journal of Hematology & Oncology. 2013; 6(1):88. doi: 10.1186/1756-8722-6-88
- [9] Troxell M. PIK3CA/AKT1 Mutations in Breast Carcinoma: a Comprehensive Review of Experimental and Clinical Studies. Journal of Clinical & Experimental Pathology. 2012; 2(S1):002. doi: 10.4172/2161-0681.s1-002
- [10] Bachman KE, Argani P, Samuels Y, Silliman N, Ptak J, Szabo S, et al. The PIK3CA gene is mutated with high frequency in human breast cancers. Cancer Biology & Therapy. Informa UK Limited. 2004; 3(8):772-5. doi: 10.4161/cbt.3.8.994
- [11] Samuels Y, Diaz LA, Schmidt-Kittler O, Cummins JM, DeLong L, Cheong I, et al. Mutant PIK3CA promotes cell growth and invasion of human cancer cells. Cancer Cell. 2005; 7(6):561-73. doi: 10.1016/j.ccr.2005.05.014
- [12] Miller TW. Initiating breast cancer by PIK3CA mutation. Breast Cancer Research. 2012; 14(1). doi: 10.1186/bcr3103
- [13] Levine DA. Frequent mutation of the PIK3CA gene in ovarian and breast cancers. Clinical Cancer Research. 2005; 11(8):2875-8. doi: 10.1158/1078-0432.ccr-04-2142
- [14] Cizkova M, Susini A, Vacher S, Cizeron-Clairac G, Andrieu C, Driouch K, et al. PIK3CA mutation impact on survival in breast cancer patients and in ER $\alpha$ , PR and ERBB2-based subgroups. Breast Cancer Research. 2012; 14:R28. doi: 10.1186/bcr3113
- [15] Campbell IG. Mutation of the PIK3CA gene in ovarian and breast cancer. Cancer Research. 2004; 64(21):7678-81. doi: 10.1158/0008-5472.can-04-2933
- [16] Liang X, Lau QC, Salto-Tellez M, Putti TC, Loh M, Sukumar S. Mutational hotspot in Exon 20 of PIK3CA in breast cancer among

انجام راهکارهایی نظیر: بررسی جهش‌های ژن PIK3CA در تعداد بیشتری از نمونه‌های سرطان پستان، بررسی جهش‌های سایر اگزون‌های این ژن، بررسی بیان و میزان رونوشت‌های این ژن در بیماران، بررسی اثر مهارکننده‌های PIK3CA در کاهش علائم بیماری و بررسی ارتباط جهش در این ژن با جهش در دیگر ژن‌های مهم در تومورزایی پیشنهاد می‌شود.

## تشکر و قدردانی

این مطالعه از پایان‌نامه مقطع کارشناسی ارشد خانم نرگس شریف در گروه زیست‌شناسی دانشگاه اراک گرفته شده است. نویسنده بر خود لازم می‌داند از زحمات مسئولان آزمایشگاه تحقیقاتی دانشگاه اراک تشکر و سپاسگزاری کند.

Singapore Chinese. Cancer Biology & Therapy. 2006; 5(5):544-8.  
doi: 10.4161/cbt.5.5.2656

[17] Barbareschi M, Buttitta F, Felicioni L, Cotrupi S, Barassi F, Del Grammastro M, et al. Different prognostic roles of mutations in the helical and kinase domains of the PIK3CA gene in breast carcinomas. Clinical Cancer Research. 2007; 13(20):6064-9. doi: 10.1158/1078-0432.ccr-07-0266

[18] Maruyama N, Miyoshi Y, Taguchi T, Tamaki Y, Monden M, Noguchi S. Clinicopathologic analysis of breast cancers with PIK3CA mutations in Japanese women. Clinical Cancer Research. 2007; 13(2):408-14. doi: 10.1158/1078-0432.ccr-06-0267

[19] Gharbi S, Faghihi M, Tavassoli M. A Novel PIK3CA hotspot mutation in Isfahanian Breast cancer patients. Cancer Investigation. 2011; 29(4):313-7. doi: 10.3109/07357907.2010.550593

[20] Buttitta F, Felicioni L, Barassi F, Martella C, Paolizzi D, Fresu G, et al. PIK3CA mutation and histological type in breast carcinoma: high frequency of mutations in lobular carcinoma. Journal of Pathology. 2006; 208(3):350-5. doi: 10.1002/path.1908